

ارتباط چندشکلی‌های تک نوکلئوتیدی T/C و A/C از ژن

ارتباط چندشکلی‌های تک نوکلئوتیدی PPARGC1A با ترکیب و تولید شیر در گاوهای هلشتاین ایران

مجید پسندیده^{*}، محمد رضا محمدآبادی^۱، علیرضا ترنگ^۲، علی اسماعیلیزاده کشکوئیه^۳، رامین صیقلانی^۴، سعید انصاری مهیاری^۴، رضا پسندیده^۵
۱- کارشناس ارشد و دانشیار دانشگاه شهید باهنر کرمان
۲- استادیار، پژوهشکده بیوتکنولوژی کشاورزی، منطقه شمال (رشت)
۳- استادیار، دانشگاه صنعتی اصفهان
۴- استادیار، دانشگاه کارشناسی ارشد ژنتیک و اصلاح نژاد دانشگاه فردوسی مشهد

* نویسنده مسئول مکاتبات، پست الکترونیکی: Majidpasandideh@gmail.com

(تاریخ دریافت: ۸۹/۷/۲۷ - تاریخ پذیرش: ۹۰/۳/۱)

چکیده

بسیاری از مطالعات، وجود QTL هایی روی کروموزوم ۶ گاو گزارش کرده‌اند که بر صفات تولیدی شیر موثر است. ژن *PPARGC1A* به عنوان یک ژن کاندیدا برای مقدار چربی شیر تشخیص داده شده است، زیرا این ژن نقش اساسی در متابولیسم چربی، گلوکز و انرژی ایفا می‌نماید. در این تحقیق، استخراج DNA از نمونه‌های خون جمع‌آوری شده از ۳۹۸ راس گاو هلشتاین از استان‌های تهران و اصفهان انجام شد. برای استخراج DNA از روش نمکی استفاده گردید. سپس SNPT>C در موقعیت ۱۸۹۲ و SNPA>C در موقعیت ۳۳۵۹ از ژن *PPARGC1A* به روش PCR-RFLP تعیین ژنوتیپ شدند. فراوانی ژنوتیپ‌های TT، TC و CC در موقعیت نوکلئوتیدی ۱۸۹۲ به ترتیب ۱۲، ۶۵ و ۲۳ درصد و همچنین فراوانی ژنوتیپ‌های AA و AC در موقعیت نوکلئوتیدی ۳۳۵۹ به ترتیب ۳۸، ۵۲ و ۱۰ درصد محاسبه شد. با استفاده از آزمون مربع کای، حالت تعادل برای جمعیت‌ها بررسی شد. ژنوتیپ‌های هر دو جایگاه از تعادل هارددی-واینبرگ انحراف نشان دادند. در این مطالعه، ژنوتیپ‌های موقعیت c.1892T>C با صفات درصد چربی تصحیح شده بر اساس دوبار دوشش در روز، ارزش اصلاحی تولید شیر، ارزش اصلاحی درصد چربی شیر، تولید پروتئین شیر تصحیح شده براساس ۳۰۵ روز و تولید پروتئین شیر تصحیح شده بر اساس وزن بلوغ ارتباط معنی‌دار نشان دادند. ارتباط معنی داری بین ژنوتیپ‌های موقعیت c.3359A>C با دو صفت درصد چربی تصحیح شده بر اساس دوبار دوشش در روز و ارزش اصلاحی درصد چربی شیر مشاهده شد. ارتباط معنی‌دار بین چندشکلی‌های تک نوکلئوتیدی با صفات شیر، فرصت مناسبی برای استفاده از برنامه‌های انتخاب به کمک مارکر در گاو شیری فراهم می‌آورد.

واژه‌های کلیدی

چندشکلی تک نوکلئوتیدی،
گاو هلشتاین،
PCR-RFLP
PPARGC1A

مقدمه

نقشه‌یابی و تعیین خصوصیات ژن‌های کنترل کننده صفات مهم مانند تولید شیر، سلامتی و ورم پستان، عرصه‌ای مهم در تحقیقات گونه‌های حیوانی فراهم آورده است. در گاو شیری بیشترین تاکید بر تشخیص QTL‌هایی است که عهده‌دار تولید شیر و یا پروسه‌های فیزیولوژیکی موثر بر صفات تولیدی شیر مقدار شیر، مقدار چربی و پروتئین شیر و درصد چربی و پروتئین شیر می‌باشد (۵). نقشه‌یابی ژن‌ها مرحله‌ای اساسی برای تحقیق در مورد جایگاه‌های صفات کمی موثر بر صفات تولیدی در دام می‌باشد. مرحله بعد تشخیص ژن یا آللی است که موجب ایجاد یک فنوتیپ خاص در جمعیت می‌شود (۲). هدف از انتخاب به کمک مارکر این است که انتخاب در سطح DNA جایگزین انتخاب بر مبنای فنوتیپ شود (۱۶). انتخاب به کمک مارکر توانایی افزایش فراوانی آلل مطلوب در جمعیت را دارد (۱۲). همچنین در گاو‌شیری می‌توان از انتخاب به کمک مارکر به عنوان انتخاب اولیه گوساله‌های نر (قبل از پروژنی تست) استفاده کرد و از این طریق باعث افزایش شدت انتخاب، کاهش فاصله نسل و افزایش کارایی ژنتیکی در جمعیت شد (۹). بسیاری از مطالعات روی کروموزوم‌های گاو شیری، QTL‌های موثر بر صفات تولیدی شیر را کشف کرده‌اند. از این میان، کروموزوم ۶ گاو، بیشترین تعداد QTL را نشان داده است (۵). در بین ژن‌هایی که از نقشه‌یابی مقایسه‌ای منطقه کروموزومی گاو با کروموزوم‌های انسان تشخیص داده شده است، ژن‌های *DGAT1*^۱ و *PPARGC1A* کاندیداهای اصلی QTL موثر بر ستز چربی شیر معرفی شده‌اند (۱۷).

ژن *PPGC-1α* (که *PPARGC1A* نیز نامیده می‌شود) عضوی از خانواده فعال کننده‌های کمکی رونویسی می‌باشد که نقش اساسی در تنظیم متابولیسم انرژی ایفا می‌نماید (۸). این ژن نقش کلیدی در فعل سازی گیرنده‌های مختلف هورمون‌های هسته‌ای و همچنین در رونویسی فاکتورهای تنظیمی تعادل انرژی دارد. نشان داده شده است که این ژن نقش میانجی‌گری در بیان ژن‌های دخیل در متابولیسم اکسیداسیون و گلوکونوثئونز ایفا می‌نماید (۱۳). ژن *PPGC1A* در روی کروموزوم شماره ۵ موش،

¹ Peroxisome proliferator-activated receptor-γ coactivator-1α

کروموزوم شماره ۴ انسان و کروموزوم شماره ۶ گاو مکانیابی شده است و پروتئین شامل ۷۹۷ اسید آمینه در موش یا ۷۹۸ اسید آمینه در انسان را کد می‌نماید (۸). این ژن از ۱۳ اگزون تشکیل شده است که شامل ۶۶۱ جفت باز می‌باشد. در مجموع ۱۱ جایگاه چندشکلی در طول این ژن تشخیص داده شده است. ژن *PPARGC1A* وظیفه قابل توجه‌ای در بافت‌های متابولیسم چربی، گلوکز و تعادل انرژی دارد و در انسان و موش قادر به هماهنگ کردن پروسه‌های متابولیکی در کبد و بافت‌های چربی و ماهیچه می‌باشد (۸). نقش بالقوه *PPARGC1A* در متابولیسم غدد پستانی می‌باشد. با توجه به نقش اساسی ژن *PPARGC1A* در متابولیسم گلوکز، چربی و انرژی، احتمالاً این ژن پروسه‌های متابولیکی را در طول دوره شیردهی در گاوهای شیری تنظیم می‌کند و توانایی فراهم آوردن نیازهای متابولیکی حیوان را در دوره شیردهی دارد (۱۷).

در یک تحقیق، تنوع ژنتیکی لوکوس *PPARGC1A* در موقعیت-های *c.1892T>C* (واقع در ایترون^۹) و *c.3359A>C* (واقع در ناحیه غیر قابل ترجمه^۳) در گاوهای هلشتاین دو جمعیت UW و CDDR مورد بررسی قرار گرفت (۵) چندشکلی تک نوکلئوتیدی T/C فقط در جمعیت UW تعیین ژنوتیپ شد. این چانشیتی تک نوکلئوتیدی با هیچ یک از صفات تولیدی شیر ارتباط معنی‌دار نشان نداد. چندشکلی تک نوکلئوتیدی *A/C* در هر دو جمعیت مورد مطالعه قرار گرفت. بر اساس این تحقیق، چانشیتی تک نوکلئوتیدی *A>C* اثر معنی‌دار بر مقدار شیر در جمعیت UW، بر درصد پروتئین در هر دو جمعیت UW و CDDR و بر سلول-های سوماتیک در جمعیت CDDR نشان داد. اثرات غالبیت برای هیچ یک از صفات مورد مطالعه معنی‌دار گزارش نشد (۴). در تحقیقی دیگر، ارتباط معنی‌دار موقعیت *c.1892T>C* با مقدار چربی شیر مشخص شد اما این چانشیتی با مقدار شیر و درصد چربی آن ارتباط معنی‌دار نشان نداد. ارتباط موقعیت *c.3359A>C* با صفات مورد بررسی، در سطح ۰/۰۵ معنی‌دار نبود (۱۷). مطالعه‌ای روی گاوهای نژاد جرسی نشان داد که تفاوت معنی‌داری بین ژنوتیپ‌های موقعیت‌های *c.1892T>C* و *c.3359A>C* (۱۷).

² University of Wisconsin

³ Cooperative Dairy DNA Repository

ارتباط چندشکلی‌های تک نوکلئوتیدی T/C و A/C ...

غیر قابل ترجمه ۳' (3') از این ژن (در برگیرنده دو جهش مربوطه) انجام پذیرفت. توالی آغازگرهای پیشرو و پسرو برای تکثیر قطعه ۱۹۵ جفت بازی در مکان ۱۸۹۲ ژن *PPARGC1A* به صورت زیر بود (۴).

۱۸۹۲F ۵'-CATAGCCGGCGCCCAGGTAAGATGCACGTTGGC-3'
۱۸۹۲R ۵'-CTGGTACTCCCTCGTAGCTGTC-3'
همچنین توالی آغازگرهای پیشرو و پسرو برای تکثیر قطعه ۳۵۷ جفت بازی در مکان ۳۳۵۹ ژن *PPARGC1A* به صورت زیر بود (۴).

۳۳۵۹F ۵'-GCGAGCACGGTGTACATTACTAAGGAGAGTTGGCTAG-3'
۳۳۵۹R ۵'-GTTGTGTTGCACTCAATGGAC-3'
واکنش تکثیر در حجم ۲۰ میکرولیتر شامل ۱۰۰ نانوگرم از DNA ژنومی، ۰/۶ پیکومول از هر آغازگر، ۰/۲ میلی مولار dNTPS، ۲ میکرولیتر PCR بافر ۱۰X، ۲ میلی مولار $MgCl_2$ و ۱/۵ واحد آنزیم Taq پلیمراز صورت پذیرفت. چرخه‌های واکنش PCR به این صورت برنامه ریزی شد: دناتوراسیون اولیه در دمای ۹۴ درجه سانتی‌گراد به مدت ۴ دقیقه، ۳۵ سیکل شامل دناتوراسیون در دمای ۹۴ درجه سانتی‌گراد به مدت ۵۰ ثانیه، اتصال به روش تاچ‌دان^۳ از دمای ۶۰ تا ۵۵ درجه سانتی‌گراد (۰/۵ درجه سانتی‌گراد کاهش به ازای هر سیکل) به مدت ۵۰ ثانیه، سنتز در دمای ۷۲ درجه سانتی‌گراد به مدت ۵۰ ثانیه و سنتز نهایی در دمای ۷۲ درجه سانتی‌گراد به مدت ۷ دقیقه. با انجام این واکنش، قطعات ۱۹۵ و ۳۵۷ جفت بازی از این ژن تکثیر شد. سپس برای تعیین ژنوتیپ در مکان T>C، محصولات PCR با آنزیم برشی *HaeIII*(*BsuRI*) و برای تعیین ژنوتیپ در مکان A/C محصولات PCR با آنزیم برشی *NheI* مورد هضم واقع شدند (۴). ترکیب واکنش‌گرهای هضم آنزیمی برای موقعیت C.1892T>C. به صورت ۱۰ میکرولیتر محصول PCR، یک میکرولیتر بافر R(10X) و ۰/۲ میکرولیتر آنزیم *HaeIII*(10U) استفاده شد که به مدت ۵ ساعت در دمای ۳۷ درجه سانتی‌گراد در دستگاه Dry Bath انجام شد. همچنین برای هضم آنزیمی در موقعیت C.3359A>C. به میکرولیتر محصول PCR، یک میکرولیتر بافر(Tango)(10X) و ۰/۲ میکرولیتر آنزیم *NheI*(10U) به مدت ۳ ساعت در دمای ۳۷ درجه سانتی‌گراد در دستگاه Dry Bath قرار داده شد. نمونه‌های هضم شده روی ژل آگارز ۲٪ الکتروفورز شدند و ژل با اتیدنیوم بروماید

از ژن *PPARGC1A* با صفات ترکیب و تولید شیر وجود ندارد (۷). یک تحقیق روی گاوها نژاد فریزین-هلشتاین لهستان، ارتباط معنی‌دار بین ژنوتیپ‌های SNPT>C در موقعیت ۱۸۹۲ با مقدار پروتئین شیر و نیز نرخ برگشت ناپذیری^۱ در تلیسه‌ها گزارش کرده است. در این مطالعه، SNPA>C در موقعیت ۳۳۵۹ با هیچ‌یک از صفات مورد بررسی ارتباط معنی‌دار نشان نداد (۶). با بررسی SNPT>C در موقعیت ۱۸۹۲ در گاوها گوشته ایالات متحده، عدم وجود ارتباط معنی‌دار بین این جانشینی تک نوکلئوتیدی با صفات لاشه مورد بررسی مشخص شد (۱۸). در یک تحقیق، ارتباط چندشکلی تک نوکلئوتیدی T>C در موقعیت ۱۸۹۲ از ژن *PPARGC1A* در گاوها فریزین-هلشتاین هلند مورد بررسی قرار گرفت. ارتباط ژنوتیپ‌های این چندشکلی با درصد چربی شیر معنی‌دار گزارش شد (۱۵). به دلیل نتایج ضد و نقیضی که برای تاثیر QTL های واقع در وسط کروموزوم ۶ گزارش شده است، می‌باشد جمعیت‌های دیگر از گاو هلشتاین در سایر کشورها، مورد ارزیابی قرار گیرد (۲). با توجه به این مسئله و به دلیل اهمیت صنعت تولید شیر و نیز نقش کلیدی ژن *PPARGC1A* در متابولیسم انرژی، چربی و گلوکز، انجام چنین مطالعه‌ای ضروری به نظر رسید. به این‌منظور در این تحقیق، ارتباط چندشکلی تک نوکلئوتیدی T>C در موقعیت ۱۸۹۲ و نیز چندشکلی تک نوکلئوتیدی A>C در موقعیت ۳۳۵۹ از ژن *PPARGC1A* با صفات ترکیب و تولید شیر در گاوها هلشتاین ایران مورد بررسی قرار گرفت.

مواد و روش‌ها

این تحقیق روی ۳۹۸ راس گاو ماده هلشتاین گاوداری‌های استان‌های تهران و اصفهان انجام شد. نمونه‌گیری خون از ۱۰ گاوداری این دو استان (هر استان ۵ گاوداری) با استفاده از لوله‌های خونگیری حاوی EDTA انجام شد. سپس استخراج از نمونه‌های خون به روش نمکی^۲ انجام شد (۱۰). برای بررسی کیفی DNA از ژل الکتروفورز یک درصد استفاده شد. واکنش PCR برای تکثیر قطعه ۱۹۵ جفت بازی واقع در ایترون ۹ ژن *PPARGC1A* و نیز تکثیر قطعه ۳۵۷ جفت بازی واقع در ناحیه

¹ Non-return rate

² Salting out

³ Touchdown

نتایج و بحث

در مرحله بررسی کیفی DNA استخراج شده با استفاده از ژل آگارز یک درصد، نمونه‌هایی که باند روشن با وضوح کامل ایجاد کردند مورد قبول قرار گرفتند. محصولات به دست آمده از واکنش PCR، جهت حصول اطمینان از تکثیر قطعات مورد نظر از ژن *PPARGC1A*، روی ژل آگارز دو درصد الکتروفورز شدند. نمونه‌های تکثیر شده، باند روشن و واضحی در موقعیت‌های ۱۹۵ و ۳۵۷ جفت‌بازی ایجاد کردند که برای ادامه تحقیق انتخاب شدند (شکل ۱). با توجه به قطعات حاصل از برش آنزیم، ژنوتیپ‌های افراد در هر موقعیت تعیین شد. با استفاده از آنزیم *HaeIII* در موقعیت C.1892T>C، سه نوع ژنوتیپ TT، TC و CC مشخص شد. قطعه برش نخورده ۱۹۵ جفت‌بازی، بیانگر ژنوتیپ TT می‌باشد و دو قطعه ۱۶۳ و ۳۲ جفت‌بازی، بیانگر ژنوتیپ CC است. همچنین سه قطعه ۱۹۵، ۱۶۳ و ۳۲ جفت بازی، نشان‌دهنده ژنوتیپ TC می‌باشد. با تاثیر آنزیم *NheI* در موقعیت C.3359A>C، ژنوتیپ‌های AA، AC و CC تشخیص داده شد. قطعه برش نخورده ۳۵۷ جفت‌بازی، بیانگر ژنوتیپ AA می‌باشد و دو قطعه ۳۱۹ و ۳۸ جفت‌بازی، بیانگر ژنوتیپ CC است. همچنین سه قطعه ۳۵۷، ۳۱۹ و ۳۸ جفت‌بازی، نشان‌دهنده ژنوتیپ AC می‌باشد. قابل ذکر است که قطعات ۳۲ و ۳۸ جفت‌بازی، به علت کوچک و سبک بودن، در ژل آگارز مشاهده نشدند (شکل ۲). در موقعیت C.1892T>C، از بین ۳۹۸ فرد تعیین ژنوتیپ شده، ۶ فرد ژنوتیپ TT، ۲۵۹ فرد ژنوتیپ TC و ۹۳ فرد ژنوتیپ CC را نشان دادند. در مورد موقعیت C.3359A>C، از بین ۳۹۸ فرد تعیین ژنوتیپ شده، ۱۵۱ فرد ژنوتیپ AA، ۲۰۷ فرد ژنوتیپ AC و ۴۰ فرد ژنوتیپ CC نشان دادند. مقادیر محاسبه شده فراوانی‌های آللی و ژنوتیپی، هتروزیگوستی مشاهده شده و مورد انتظار و نیز مربع کای در جدول ۱ آورده شده است. قابل ذکر است که عدم تعادل پیوستگی بین چندشکلی تک نوکلئوتیدی C.3359A>C و C.1892T>C با استفاده از آماره^۲ برابر با ۰/۸۵۷۲ محاسبه شد.

رنگ‌آمیزی شد. در چندشکلی تک نوکلئوتیدی T>C، آلل T (برش نخورده) به‌وسیله باند ۱۹۵ جفت‌بازی و آلل C (برش نخورده) توسط باند ۱۶۳ جفت‌بازی تشخیص داده شد. همچنین در چندشکلی تک نوکلئوتیدی A>C، آلل A (برش نخورده) به‌وسیله باند ۳۵۷ جفت‌بازی و آلل C (برش نخورده) توسط باند ۳۱۹ جفت‌بازی تشخیص داده شد. با توجه به ژنوتیپ‌های به دست آمده، فراوانی‌های آللی و ژنوتیپی، هتروزیگوستی مشاهده شده و قابل انتظار و تعادل هاردی- واینبرگ با کمک نرم افزار Pop Gene به دست آورده شد (۱۹). همچنین در این تحقیق، عدم تعادل پیوستگی (LD) بین دو جایگام، با محاسبه آماره^۱ برآورد شد (۳).

برای بررسی ارتباط ژنوتیپ‌ها با صفات تولید و ترکیب شیر، مدل آماری زیر با استفاده رویه GLM^۲ در نرم افزار SAS^۳ مورد تجزیه و تحلیل قرار گرفت (۱۴).

$$Y_{ijkmn} = \mu + G_i + H(S)_{ij} + M_{ijk} + N_{ikmn} + C_{ijkmn} + e_{ijkmn}$$

فاکتورها در این مدل عبارتند از:

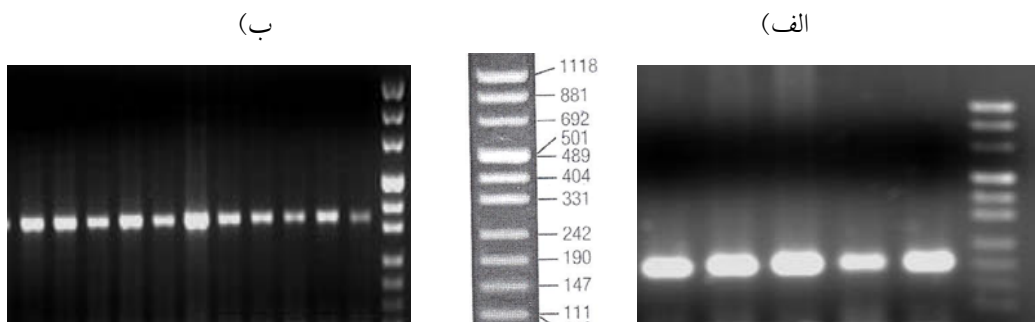
Y_{ijkmn} : بردار مشاهدات شامل: MILK (تولید شیر تصحیح شده براساس ۳۰۵ روز)، MILK2X (تولید شیر بر اساس دویار دوشش در روز)، MILKME (تولید شیر تصحیح شده بر اساس وزن بلوغ)، FAT2X (تولید چربی شیر تصحیح شده بر اساس دویار دوشش در روز)، FATP2X (درصد چربی شیر تصحیح شده بر اساس دویار دوشش در روز)، PRO305 (تولید پروتئین تصحیح شده بر اساس ۳۰۵ روز)، PROPER305 (درصد پروتئین تصحیح شده بر اساس ۳۰۵ روز) و PROME (تولید پروتئین تصحیح شده بر اساس وزن بلوغ) بود.

μ : اثر میانگین، G : اثر ژنوتیپ، H : اثر گله (داخل استان نست)^۳ شده است، M : اثر سال تولد، N : اثر ماه تولد، C : اثر اولین سال زایش. ارتباط چندشکلی‌های تک نوکلئوتیدی ژن *PPARGC1A* و ارزش‌های اصلاحی تولید شیر (BVM)، تولید چربی شیر (BVF) و درصد چربی شیر (BVFP) نیز با استفاده از یک مدل آماری شامل اثر ژنوتیپ مورد تجزیه و تحلیل قرار گرفت.

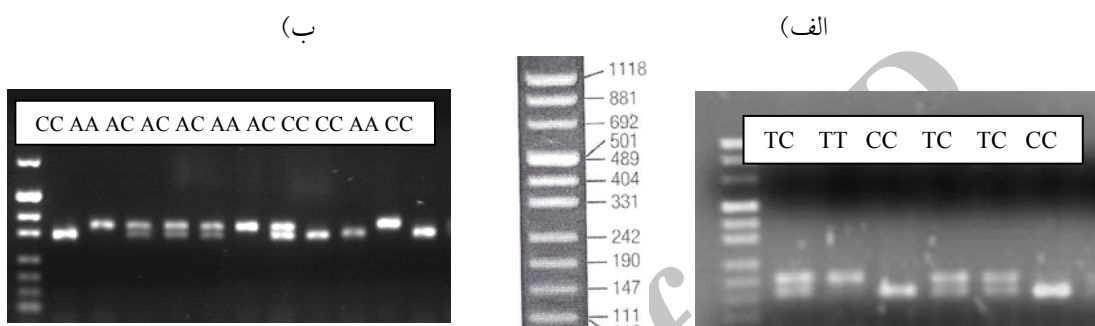
¹ General linear model

² Statistical analysis system

³ Nest



شکل ۱- نتایج تکثیر (الف) قطعه ۱۹۵ جفت بازی و (ب) قطعه ۳۵۷ جفت بازی ژن *PPARGC1A* پس از الکتروفورز بر روی ژل آکارز دو درصد و رنگ آمیزی با اتیدیوم بروماید را نشان می‌دهند.



شکل ۲- (الف) هضم آنزیمی قطعه ۱۹۵ جفت بازی با آنزیم *HaeIII* و (ب) هضم آنزیمی قطعه ۳۵۷ جفت بازی با آنزیم *NheI* را نشان می‌دهند.

جدول ۱- نتایج حاصل از تعیین ژنتیپ جمعیت در موقعیت‌های c.3359A>C و c.1892T>C از ژن *PPARGC1A* را نشان می‌دهد.

آماره	شاخص	هتروزیگوستی	فرافوای ژنتیکی	SNP
Obs ^۱	Exp ^۲	Nei	Shannon	c.1892T>C
۰/۲۳	۰/۶۵	۰/۱۲	۰/۵۶	T C TT CC TC CC
۰/۴۹	۰/۶۵	۰/۴۹	۰/۸۰۹	*۸/۵۱ ۰/۶۸
Obs	Exp	Nei	Shannon	c.3359A>C
۰/۱۰	۰/۵۲	۰/۳۸	۰/۳۶	A C AA AC CC
۰/۴۶	۰/۴۶	۰/۴۶	۰/۶۵	*۶/۰۱ ۰/۶۵

۱- هتروزیگوستی مشاهده شده

۲- هتروزیگوستی مورد انتظار

می‌باشند. همچنین افراد دارای ژنتیپ TT ارزش اصلاحی درصد چربی شیر بیشتری (به ترتیب ۰/۰۵۶۸ و ۰/۰۸۰۹) نسبت به ژنتیپ‌های TC و CC داشتند. در مورد صفت تولید پروتئین شیر تصحیح شده براساس ۳۰۵ روز، افراد دارای ژنتیپ TC نسبت به سایر افراد بالاتر بودند و مقدار پروتئین شیر تصحیح شده بر اساس ۳۰۵ روز بیشتری (به ترتیب ۱۵/۹۹ و ۴/۶۶ کیلوگرم) نسبت به افراد دارای ژنتیپ TT و CC داشتند. همچنین این افراد، ۱۷/۹۲ کیلوگرم پروتئین شیر تصحیح شده بر اساس وزن بلوغ بیشتری نسبت به افراد دارای ژنتیپ TT نشان دادند. افراد دارای ژنتیپ CC نیز به مقدار ۱۳/۰۵ کیلوگرم پروتئین شیر تصحیح شده بر اساس وزن بلوغ بیشتری نسبت به افراد دارای

ارتباط معنی‌داری بین ژنتیپ‌های موقعیت c.1892T>C از ژن *PPARGC1A* با صفات درصد چربی تصحیح شده بر اساس دوبار دوشش در روز ($P<0/05$)، ارزش اصلاحی تولید شیر ($P<0/05$)، ارزش اصلاحی درصد چربی شیر ($P<0/01$)، تولید پروتئین شیر تصحیح شده براساس وزن بلوغ ($P<0/05$) مشاهده شد. به طوری که افراد با ژنتیپ TT دارای درصد چربی تصحیح شده براساس دوبار دوشش بالاتری (به ترتیب ۰/۰۸ و ۰/۰۹ درصد) نسبت به افراد دارای ژنتیپ TC و CC می‌باشند. افراد با ژنتیپ CC ارزش اصلاحی تولید شیر بیشتری (به ترتیب ۳۷/۴۸ و ۲۱۸/۰۲) نسبت به افراد دارای ژنتیپ TC و CC

در صد چربی شیر بیشتری (به ترتیب ۰/۰۴۱۲ و ۰/۰۲۹۵) نسبت به افراد با ژنوتیپ AC و CC نشان دادند. ارتباط معنی‌دار بین ژنوتیپ‌های این موقعیت با سایر صفات مطالعه مشاهده نشد (جدول ۳). پیشرفت قابل توجه‌ای در بهبود ژنتیکی جمعیت‌های دامی، با استفاده از انتخاب مصنوعی برای صفات کمی ایجاد شده است. بیش‌تر این انتخاب‌ها بر مبنای فنوتیپ ظاهری حیوان و بدون در نظر گرفتن ساختار ژنتیکی انجام شده است. با این حال، پیشرفت علم ژنتیک مولکولی در جمعیت‌های دامی منجر به شناخت ساختار ژنتیکی صفات کمی شده است (۱).

ژنوتیپ TT داشتند. ارتباط معنی‌دار بین ژنوتیپ‌های این موقعیت با سایر صفات مورد مطالعه مشاهده نشد (جدول ۲). ارتباط معنی‌دار بین ژنوتیپ‌های موقعیت C>C.3359A از ژن PPARGCIA با دو صفت در صد چربی تصحیح شده بر اساس دو بار دوشش در روز ($P<0/01$) و ارزش اصلاحی در صد چربی شیر ($P<0/01$) مشاهده شد. به طوری که افراد با ژنوتیپ AA در صد چربی تصحیح شده براساس دوبار دوشش بالاتری (به ترتیب ۰/۰۱۳ و ۰/۰۱۴ درصد) نسبت به افراد با ژنوتیپ AC و CC نشان دادند. همچنین افراد با ژنوتیپ AA، ارزش اصلاحی

جدول ۲- میانگین حداقل مربیات و اشتباہ استاندارد برای صفات شیر، در ژنوتیپ‌های مختلف موقعیت c.1892T>C از ژن PPARGCIA را نشان می‌دهد.

c.1892T>C	TT(n=۴۶)	TC(n=۲۵۹)	CC(n=۹۳)	p value
MILK	۶۹۰۲/۳۶±۶۱۱/۶۶	۷۸۰۰/۸۵±۴۷۹/۱۶	۷۳۱۸/۲۹±۵۰۷/۹۱	.۱۲۵۴
MILK2X	۶۸۷۶/۱۰±۲۸۵/۴۰	۷۳۴۹/۵۸±۲۲۳/۵۸	۷۲۹۱/۴۳±۲۳۸/۹۹	.۳۱۲۴
MILKME	۷۹۸۷/۸۰±۳۲۶/۸۰	۸۵۲۴/۶۷±۲۵۶/۱	۸۴۹۰/۲۷±۲۷۱/۳۶	.۲۵۹۹
FAT2X	۲۱۹/۵۰±۱۰/۵۶	۲۲۴/۵۵±۸/۲۷	۲۲۴/۷۴±۸/۷۳	.۳۸۸۱
FATP2X	^a ۳/۲۹±۰/۱۰۳۹	^b ۳/۲۱±۰/۰۸۱۳	^c ۳/۱۰±۰/۰۸۵۸	.۰۲۱۰ *
BVM	^c -۱۶۷/۹۴±۸۹/۷۳	^b ۱۲/۶۰±۵۸/۸۴	^a ۵۰/۸۰±۷۲/۵۲	.۰۲۴۷ *
BVF	۱/۳۶±۳/۰۷	۳/۶۹±۲/۰۱	۳/۴۰±۲/۴۸	.۸۹۲۱
BVFP	^a ۰/۰۹۱۲±۰/۰۲۲۹	^b ۰/۰۳۴۴±۰/۰۱۵۰	^b ۰/۰۱۰۳±۰/۰۱۸۵	.۰۰۰۱ **
PRO305	^c ۰/۰۷۲۷±۹/۱۸	^a ۰/۰۲۲۳±۶/۹۶	^b ۰/۱۸/۶۰±۷/۴۴	.۰۳۸۲ *
PROPER305	۳/۰/۹±۰/۰۴۸۶	۳/۰/۶±۰/۰۳۶۸	۳/۰/۴±۰/۰۳۹۴	.۰۵۱۵
PROME	^c ۰/۰۴۰/۰۶۵±۱۰/۰۵۰	^a ۰/۰۵۸/۰۵۷±۷/۹۶	^{ab} ۰/۰۵۳/۰/۷۰±۸/۰۲	.۰۰۴۰ *

MILK (تولید شیر تصحیح شده براساس ۳۰۵ روز)، MILK2X (تولید شیر بر اساس دوبار دوشش در روز)، MILKME (تولید شیر تصحیح شده بر اساس وزن بلوغ)، BVM (ارزش اصلاحی تولید شیر)، BVFP (ارزش اصلاحی تولید چربی شیر)، FAT2X (تولید چربی تصحیح شده بر اساس دوبار دوشش در روز)، PRO305 (تولید پروتئین تصحیح شده بر اساس ۳۰۵ روز)، PROPER305 (درصد پروتئین تصحیح شده بر اساس ۳۰۵ روز) و PROME (تولید پروتئین تصحیح شده بر اساس وزن بلوغ).

جدول ۳- میانگین حداقل مربیات و اشتباہ استاندارد برای صفات شیر، در ژنوتیپ‌های مختلف موقعیت c.3359A>C از ژن PPARGCIA را نشان می‌دهد.

c.3359A>C	AA(n=۱۵۱)	AC(n=۲۰۷)	CC(n=۴۰)	p value
MILK	۷۲۹۷/۳۸±۵۰۶/۷۴	۷۶۵۶/۲۱±۴۵۷/۳۹	۷۴۹۵/۵۷±۶۴۲/۶۶	.۱۴۸۰
MILK2X	۷۲۱۶/۳۲±۲۶۳/۹۳	۷۲۳۵/۹۲±۲۲۴/۲۷	۷۲۵۷/۹۲±۳۰۰/۴۸	.۷۸۲۵
MILKME	۸۳۷۹/۱۲±۲۷۱/۲۳	۸۵۱۱/۱۴±۲۵۴/۴۵	۸۴۶۴/۳۷±۳۴۳/۹۸	.۷۹۲۵
FAT2X	۲۲۲/۲۹±۸/۷۳	۲۲۷/۶۷±۸/۲۰	۲۳۳/۷۶±۱۱/۱۰	.۶۳۶۷
FATP2X	^a ۰/۰۲۷±۰/۰۸۴۶	^b ۰/۰۱۴±۰/۰۷۹۵	^b ۰/۰۱۳±۰/۰۷۷	.۰۰۹۲ **
BVM	-۴۴/۱۲±۶۶/۰۵	۸/۷۳±۶۰/۰۸	۹۴/۰/۷±۹۶/۱۱	.۲۲۹۳
BVF	۳/۰/۳±۲/۲۴	۳/۰/۹±۲/۰۴	۴/۸۷±۳/۲۷	.۸۷۰۷
BVFP	^a ۰/۰۵۴۵±۰/۰۱۶۹	^b ۰/۰۰۲۴۹±۰/۰۱۵۴	^c ۰/۰۱۳۳±۰/۰۲۴۶	.۰۰۴۳ **
PRO305	۲۱۸/۵۲±۷/۴۲	۲۲۱/۷۵±۶/۸۳	۲۲۹/۷۵±۹/۹۴	.۳۸۲۱
PROPER305	۳/۰/۷±۰/۰۳۹۱	۳/۰/۷±۰/۰۳۵۹	۳/۰/۶±۰/۰۵۲۳	.۱۸۹۳
PROME	۰/۰۵۳/۴۸±۸/۴۸	۰/۰۵۷/۰/۹±۷/۸۱	۰/۰۶۶/۳۴±۱۱/۳۷	.۳۶۶۶

آوردنده و Kowalewska و همكاران (۲۰۱۰) بيشترین فراوانی ژنوتيبی را برای اين ژنوتیپ مشاهده کردند. قابل توجه است که فراوانی های آللی به دست آمده در موقعیت $C.3359A>C$ در این تحقیق، با نتایج Komisarek و همكاران (۲۰۰۹) که فراوانی های آللی را به صورت $A=0/64$ و $C=0/36$ گزارش کردند، يكسان است. با استفاده از آزمون مربيع کای (χ^2)، انحراف ژنوتیپ ها از تعادل هاردی- واينبرگ، در هر دو موقعیت مورد بررسی مشخص شد. از دلایل احتمالی این انحراف از تعادل، میتوان به نمونه- گیری از جمعیت که خود نوعی انتخاب است و نیز تلاقی های غیر تصادفی اشاره کرد که هر دو از عوامل بر هم زننده تعادل می باشند.

در اين مطالعه، ارتباط معنی داري بین ژنوتیپ های موقعیت $C.1892T>C$ از ژن *PPARGC1A* با صفات درصد چربی تصحیح شده بر اساس دوبار دوشش در روز ($P<0/05$)، ارزش اصلاحی تولید شير ($P<0/05$)، ارزش اصلاحی درصد چربی شير ($P<0/01$)، تولید پروتئين شير تصحیح شده براساس ۳۰۵ روز ($P<0/05$) و تولید پروتئين شير تصحیح شده بر اساس وزن بلوغ ($P<0/05$) مشاهده شد. در حالی که Weikard و همكاران (۲۰۰۵) ارتباط معنی دار موقعیت $C.1892T>C$ از ژن *PPARGC1A* را با مقدار چربی شير گزارش کردند اما اين جانشيني با مقدار شير و درصد چربی آن ارتباط معنی دار نشان نداد. در مطالعه Khatib و همكاران (۲۰۰۷) و Kowalewska و همكاران (۲۰۱۰) اين جانشيني تک نوكليوتيدي با هیچ يك از صفات تولیدي شير ارتباط معنی دار نشان نداد. Komisarek و همكاران (۲۰۰۹) ارتباط معنی دار بین ژنوتیپ های SNPT>C با مقدار پروتئين شير و نیز نرخ برگشت ناپذيری در تليسه ها مشاهده کردند و نشان دادند افراد با ژنوتیپ TT مقدار پروتئين بيشتری در شير تولید می کنند. در تحقیق حاضر، ارتباط معنی داری بین ژنوتیپ های موقعیت $C.3359A>C$ از ژن *PPARGC1A* با دو صفت درصد چربی تصحیح شده بر اساس دوبار دوشش در روز ($P<0/01$) و ارزش اصلاحی درصد چربی شير ($P<0/01$) مشاهده شد. Khatib و همكاران (۲۰۰۷) ارتباط معنی دار اثر افزایشی SNPA>C با افزایش درصد پروتئين شير و کاهش مقدار شير را گزارش کردند. Weikard و همكاران (۲۰۰۵) نشان دادند که افراد داراي ژنوتیپ

در اين تحقیق ژنوتیپ های چندشکلي تک نوكليوتيدي در $c.3359A>C$ و $C.1892T>C$ PCR-RFLP تعیین شد و سپس ارتباط آنها با صفات ترکيب و تولید شير در گاو های هلشتاين ايران مورد بررسی قرار گرفت. به دليل نقش کلیدی ژن *PPARGC1A* در پاسخ های بیولوژیکی مانند گرمایشی سازشی، بیوژنز میتوکندریایی و متابولیسم چربی، گلوکز و انرژی، برای اين تحقیق انتخاب شد (۷). دليل دیگر برای انتخاب این ژن، نتایج حاصل از مطالعات QTL بود به طوری که این تحقیقات نشان داده بودند که يك QTL در نزدیکی ژن *PPARGC1A* در ناحیه سانتروم از کروموزوم ۶ گاو قرار گرفته است که بر صفات ترکيب و تولید شير موثر می باشد (۴، ۵، ۱۱، ۱۷).

در تحقیق حاضر، بيشترین فراوانی ژنوتیپ در موقعیت $C.1892T>C$ از ژن *PPARGC1A* برای ژنوتیپ TC و کمترین فراوانی برای ژنوتیپ TT مشاهده شد. اين نتایج با یافته های Khatib و همكاران (۲۰۰۷) مطابقت دارد. با اين حال، نتایج اين مطالعه، با نتایج Weikard و همكاران (۲۰۰۵) و Kowalewska و همكاران (۲۰۱۰) که بيشترین فراوانی ژنوتیپ در اين موقعیت را به ترتیب برای CC و TC و کمترین فراوانی ژنوتیپ را به ترتیب برای TT و CC گزارش کردند، تفاوت نشان داد. نتایج اين تحقیق با یافته های Komisarek و همكاران (۲۰۰۹) و White و همكاران (۲۰۰۷) و Schennink و همكاران (۲۰۰۹) که بيشترین فراوانی آللی در موقعیت $C.1892T>C$ را برای آلل C به دست آوردنده مشابه دارد. در اين مطالعه بيشترین فراوانی ژنوتیپ در موقعیت $C.3359A>C$ از ژن *PPARGC1A* برای ژنوتیپ AC و Khatib و هم ترین فراوانی برای ژنوتیپ CC محاسبه شد. Weikard و همكاران (۲۰۰۷) و Kowalewska و همكاران (۲۰۱۰) کمترین فراوانی ژنوتیپ را در اين موقعیت، برای ژنوتیپ AC به دست آوردنده و همكاران (۲۰۱۰) کمترین فراوانی ژنوتیپ CC مشاهده کردند. اما تفاوت هایی نیز تحقیق حاضر با مطالعات قبلی مطابقت دارد. اما تفاوت هایی نیز بین نتایج حاصل از اين تحقیق با مطالعات قبل مشاهده شد، به طوری که Khatib و همكاران (۲۰۰۷) و Weikard و همكاران (۲۰۰۷) کمترین فراوانی ژنوتیپ را برای ژنوتیپ AA به دست

معنی دار این دو جایگاه به علت عدم تعادل پیوستگی بالا با یکدیگر می‌باشد. احتمال دیگر برای توجیه ارتباط تنوع $T>C$ در موقعیت ۱۸۹۲ و نیز تنوع $C>A$ در موقعیت ۳۳۵۹ با صفات ترکیب و تولید شیر، عدم تعادل پیوستگی احتمالی این جایگاه‌ها با چندشکلی‌های تک نوکلئوتیدی تشخیص داده نشده در ژن *PPARGC1A* می‌باشد. در این تحقیق، ارتباط آلل *T* در موقعیت ۱۸۹۲ با افزایش درصد چربی تصحیح شده بر اساس دوبار دوشش در روز و ارزش اصلاحی درصد چربی شیر و نیز ارتباط آلل *C* با افزایش ارزش اصلاحی تولید شیر و نیز افزایش تولید پروتئین شیر تصحیح شده براساس ۳۰۵ روز و تولید پروتئین تصحیح شده بر اساس وزن بلوغ مشخص شد. همچنین مشخص شد که آلل *A* در موقعیت ۳۳۵۹ باعث افزایش درصد چربی تصحیح شده بر اساس دوبار دوشش در روز و ارزش اصلاحی درصد چربی شیر می‌شود.

به طور خلاصه، وجود ارتباط معنی دار بین این چندشکلی‌های تک نوکلئوتیدی با صفات ترکیب و تولید شیر، فرصت مناسبی برای استفاده از برنامه‌های انتخاب به کمک مارکر (*MAS*)³ در گاوهاشان شیری فراهم می‌آورد. از دلایل تفاوت در نتایج حاصل از این تحقیق با مطالعات مشابه، می‌توان به تفاوت پتانسیل ژنتیکی افراد مورد مطالعه و نیز اختلاف در اندازه نمونه اشاره نمود. بنابراین پیشنهاد می‌شود که چندشکلی‌های تک نوکلئوتیدی در این ژن، در نژادهای دیگر گاو شیری با تعداد نمونه بیشتر نیز بررسی شود.

³ Marker Assisted Selection

منابع

1. Dekkers JCM and Hospital F, 2002. The use of molecular genetics in the improvement of agricultural populations. *Nat. Rev. Genet.* 3: 22-32.
2. De Koning DJ, 2006. Conflicting candidates for cattle QTLs. *Trends Genet.* 22: 301-305.
3. Hill WG and Robertson A, 1968. Linkage Disequilibrium in Finite Populations. *Theor. Appl. Genet.* 38: 226-231.
4. Khatib H, Zaitoun I, Wiebelhaus-Finger J, Chang YM and Rosa GJM, 2007. The association of bovine *PPARGC1A* and *OPN* genes with milk composition in two independent Holstein cattle populations. *J. Dairy Sci.* 90: 2966-2970.

CC در موقعیت $c.3359A>C$ در مقایسه با افراد دارای ژنوتیپ AA و AC مقدار چربی شیر کمتری دارند اما نتایج به سطح معنی داری ۵ درصد نرسید. بنابراین Weikard و همکاران (۲۰۰۷) پیشنهاد کردند که ارتباط بین $C>SNPA$ در موقعیت ۳۳۵۹ با مقدار چربی شیر ممکن است به علت عدم تعادل پیوستگی (LD) بین جایگاه‌های $c.1892T>C$ و $c.3359A>C$ باشد. Kowalewska و همکاران (۲۰۱۰) ارتباط معنی داری بین ژنوتیپ‌های موقعیت $c.3359A>C$ با صفات ترکیب و تولید شیر مشاهده نکردند.

بر اساس نتایج به دست آمده در این تحقیق و نیز نقش کلیدی ژن *PPARGC1A* در متابولیسم چربی، گلوکز و انرژی و پروسه‌های متابولیکی در کبد و بافت‌های چربی و ماهیچه، به نظر می‌رسد تنوع در منطقه غیرکدکننده این ژن، با تاثیر بالقوه روی پردازش mRNA اولیه¹ و کارایی ویرایش² و یا تاثیر بر روی سطح mRNA ممکن است باعث افزایش نیاز غدد پستانی به گلوکز در پیک دوره شیردهی شود. خصوصاً در گاوهاشان شیری پرتوالید، تنظیم تولید گلوکز و استفاده از آن در کبد، بافت چربی و ماهیچه اسکلتی و دیگر بافت‌های مسئله‌ای مهم به شمار می‌رود. همچنین در این تحقیق، با محاسبه فراوانی هاپلوتیپ‌ها بین جفت جایگاه‌ها، آماره² و در نتیجه مقدار عدم تعادل پیوستگی (LD) بین چندشکلی‌های تک نوکلئوتیدی برآورد شد. از آنجا که عدم تعادل پیوستگی بین دو موقعیت $c.1892T>C$ و $c.3359A>C$ برابر با ۸۵۷۲ درصد محاسبه شد می‌توان نتیجه گرفت که تاثیر

¹ Pre-mRNA

² Splicing

5. Khatkar MS, Thomson PC, Tammen I and Raadsma HW, 2004. Quantitative trait loci mapping in dairy cattle: Review and meta-analysis. *Genet. Sel. Evol.* 36: 163-190.
6. Komisarek J and Dorynek Z, 2009. Effect of ABCG2, PPARGC1A, OLR1 and SCD1 gene polymorphism on estimated breeding values for functional and production traits in Polish Holstein-Friesian bulls. *J. Appl. Genet.* 50: 125-132.
7. Kowalewska I, Kulig H and Kmiec M, 2010. Associations between the bovine PPARGC1A gene and milk production traits. *Czech J. Anim. Sci.* 55: 195-199.
8. Liang H and Ward w, 2006. PGC-1α : a key regulator of energy metabolism. *Adv. Physiol. Educ.* 30: 145-151.

9. Mackinnon MJ and Georges MAJ, 1998. Marker-assisted preselection of young dairy sires prior to progeny-testing. *Livest. Prod. Sci.* 54: 229-250.
10. Miller SA, Dykes DD and Polesky HF, 1988. A simple salting-out procedure for extracting DNA from human nucleated cells. *Nucleic Acids Res.* 16: 1215-1220.
11. Olsen HG, Lien S, Gautier M, Nilsen H, Roseth A, Berg PR, Sundsaasen KK, Svendsen M and Meuwissen TH, 2005. Mapping of a milk production quantitative trait locus to a 420-kb region on bovine chromosome 6. *Genetics* 169: 275-283.
12. Pollak EJ, 2005. Application and impact of new genetic technologies on beef cattle breeding: a 'real world' perspective. *Aust. J. Exp. Agric.* 45: 739-748.
13. Puigserver P, Wu Z, Park CW, Graves R, Wright M and Spiegelman BM, 1998. A cold-inducible coactivator of nuclear receptors linked to adaptive thermogenesis. *Cell* 92: 829-839.
14. ISAS Institute. 1999. SAS OnlineDoc, Version 8. SAS Institute Inc., Cary, NC.
15. Schennink A, Bovenhuis H, Leon-Kloosterziel KM, Arendonk AM and Visser MHP, 2009. Effect of polymorphisms in the FASN, OLR1, PPARGC1A, PRL and STAT5A genes on bovine milk-fat composition. *Anim. Genet.* 40: 909-916.
16. Soller M, 1994. Marker assisted selection-An overview. *Anim. Biotechnol.* 3: 193-201.
17. Weikard R, Kuhn C, Goldammer T, Freyer G and Schwerin M, 2005. The bovine PPARGC1A gene: Molecular characterization and association of an SNP with variation of milk fat synthesis. *Physiol. Genomics* 21: 1-13.
18. White SN, Casas E, Allan MF, Keele JW, Snelling WM, Wheeler TL, Shackelford SD, Koohmaraie M and Smith TPL, 2007. Evaluation in beef cattle of six deoxyribonucleic acid markers developed for dairy traits reveals an osteopontin polymorphism associated with postweaning growth. *J. Anim. Sci.* 85: 1-10.
19. Yeh FC, Yang R and Boyle T, 1999. Pop Gene version 1.31, Microsoft windows-based free ware for population genetic analysis, University of Alberta. Edmonton, AB, Canada.